

$l \sim \hbar/p_F \sim a$, равно $a\pi\hbar/e^2$ (в трёхмерном случае) и $\pi\hbar/e^2$ (в двумерном). В веществах с большим ρ возникает локализация электронных состояний — проводимость исчезает (см. Андерсоновская локализация). При этом исчезновение проводимости происходит не за счёт «связывания» электронов ионами — электроны остаются коллективизированными (в том смысле, что их волновая ф-ция «размазана» на расстояния, много большие атомных).

При плавлении подвижные электроны в М. сохраняются, поэтому сохраняется большая электропроводность, хотя разрушение дальнего порядка приводит к скачкообразному росту ρ (табл. 5; см. также Жидкие металлы). Исключение составляют Sb, Ga, Bi, у которых при плавлении ρ уменьшается (для этих М. плавление сопровождается увеличением плотности).

Табл. 5.— Отношение удельных сопротивлений в твёрдой (ρ_T) и жидкой (ρ_{∞}) фазах при температуре плавления

Металл	Li	Na	Fe	Cu	Au	Ga	Sb	Bi
ρ_{∞}/ρ_T	1,68	1,44	1,09	2,07	2,28	0,58	0,67	0,4

Большинство М. при $T \rightarrow 0$ К теряют сопротивление — переходят в сверхпроводящее состояние. Для таких М. зависимость $\rho(T)$ при $T \rightarrow 0$ К определяют, разрушив сверхпроводящее состояние магн. полем $H > H_{kp}$ (см. Сверхпроводимость).

Теплоёмкость. Существование в М. вырожденного электронного газа большой плотности приводит к линейной зависимости теплоёмкости М. от T при низкой темп-ре (рис. 7). Вклад электронов в теплоёмкость М.

$$C_e = \alpha T; \quad \alpha = \frac{\pi^2}{3} g_F, \quad (5)$$

где g_F — суммарная (по всем частично заполненным зонам) плотность электронных состояний при $\mathcal{E} = \mathcal{E}_F$. Измерение C_e — один из осн. методов определения $g(\mathcal{E}_F)$ (табл. 6).

Рис. 7. Низкотемпературная теплоёмкость нормального (C_n) и сверхпроводящего (C_{sp}) Al (при $T < T_c$ значения C_n измерены на образцах, в которых сверхпроводимость была разрушена магнитным полем).

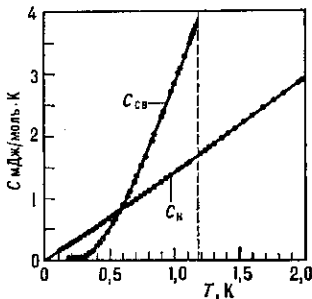


Табл. 6.— Значения постоянной α , определённые по электронной теплоёмкости C_e

Металл	Li	Be	Al	Sc	Cu
$\alpha, \text{мДж}/(\text{моль} \cdot \text{К}^2)$	1,63	0,17	1,25	10,7	0,695
Металл	Nb	Sb	Au	Bi	
$\alpha, \text{мДж}/(\text{моль} \cdot \text{К}^2)$	7,79	0,11	0,729	0,008	

Электроны проводимости вносят линейный по T вклад не только в теплоёмкость М., но и в его коэф. теплового расширения. Из-за этого в М. нарушается Грюнайзена закон: при низких темп-рах ($T \ll V\psi_D T_F$) константа в законе Грюнайзена определяется электронной подсистемой, а при высоких $T \gg \psi_D$ — фоновой (колебаниями решётки).

Теплопроводность, термоэлектрические явления. Электроны проводимости принимают участие не только в переносе электрич. заряда, но и в переносе тепла. Вследствие большой подвижности электронов теплопроводность М. велика. Величины электропроводности и

электронной части теплопроводности М. λ связаны соотношением (Видемана — Франца закон):

$$\frac{\lambda}{\sigma T} = \frac{\pi^2}{3} \left(\frac{\hbar}{e} \right)^2. \quad (6)$$

Оно выполняется тем лучше, чем строже столкновения электронов можно считать упругими (при $T \gg \psi_D$, а также и при $T = 0$ К, когда осн. причина сопротивления — столкновения с дефектами кристалла). При наличии градиента темп-ры ∇T в М. возникает электрич. ток, или связанный с ∇T разность потенциалов (термоэдс). Из-за вырождения электронного газа коэф., описывающие термоэдс и др. термоэлектрич. эффекты, малы, однако их исследование позволяет обнаружить увеличение электронов тепловыми фононами. Взаимодействия внеш. возбуждённых в М. акустич. волн с электронами проводимости приводят к возникновению тока либо разности потенциалов, пропорц. интенсивности потока фононов (см. Акустоэлектрический эффект). Теплопроводность сплавов ниже теплопроводности чистых М.

Диамагнетизм и парамагнетизм М. Электроны проводимости обладают как парамагнитными (из-за наличия у каждого электрона собств.магн. момента), так и диамагн. свойствами, обязанными квантованию движения электронов в плоскости, перпендикулярной магн. полю (см. Диамагнетизм). В теории Друде — Лоренца — Зоммерфельда (с эф. массой m электрона вместо m_0) магнитная восприимчивость электронного газа равна:

$$\chi = \frac{3}{2} \mu_B^2 \frac{n}{\mathcal{E}_F} \left(1 - \frac{m_0}{3m} \right); \quad kT \ll \mathcal{E}_F \quad (7)$$

(μ_B — магнетон Бора). Из ф-лы (3) видно, что электронный газ в зависимости от соотношения между m и m_0 может быть как диамагнитным, так и парамагнитным. Более строгое рассмотрение не изменяет этого вывода и оценки μ_B по порядку величины, табл. 7.

Табл. 7.— Магнитная восприимчивость χ поликристаллических металлов при $T = 300$ К

Металл	Li	Be	Al	Sc	Cu	Nb	Sb	Au	Bi
$\chi, 10^{-6}$	1,9	-1,8	1,6	17,5	-0,77	19,3	-5,3	-2,7	-13,0

В магн. восприимчивость М. вносят вклад и ионы: у непереходных М. ионы диамагнитны, а у переходных, как правило, парамагнитны (см. Магнетизм). Из-за вырождения электронного газа ($kT \ll \mathcal{E}_F$) парамагн. восприимчивость электронного газа слабо зависит от T (см. Паули парамагнетизм). В сильном магн. поле ($\mu H > kT$) χ металлич. монокристаллов осциллирует как ф-ция $1/H$ с частотами, пропорц. площадям экстремальных сечений поверхности Ферми (эффект де Хааза — ван Альфена, см. Квантовые осцилляции в магнитном поле).

Нек-рые М. при понижении T переходят в магнитоупорядоченное состояние: в ферромагнитное (напр., Fe, Co, Ni), в антиферромагнитное (Ce, Mn) или в состояние с геликоидальной магнитной атомной структурой (напр., Сг, табл. 1). При этом электроны проводимости играют существ. роль в формировании магн. структур (см. Ферромагнетизм, Антиферромагнетизм). Упорядочение магн. моментов при понижении темп-ры — необязат. свойство осн. состояния М.; большинство непереходных металлов остаются парамагнетиками или диамагнетиками вплоть до $T = 0$ К.

Переход кристаллич. М. в сверхпроводящее состояние сопровождается изменением его магн. свойств: в сверхпроводящем состоянии М. в слабых полях проявляет себя как диамагнетик. Из-за Мейснера эффекта ср. значение магн. поля в сверхпроводнике равно 0. В сверхпроводниках 1-го рода (Sn, Pb, In и др.) это вы-